

DEA IARFA - Techniques du traitement d'images

Description de contours et de formes

Florence Tupin

Description de contours et de formes

- **Analyse des objets présents dans une image**
 - description de formes
 - description de contours
 - transformées de Hough

Préliminaire : étiquetage

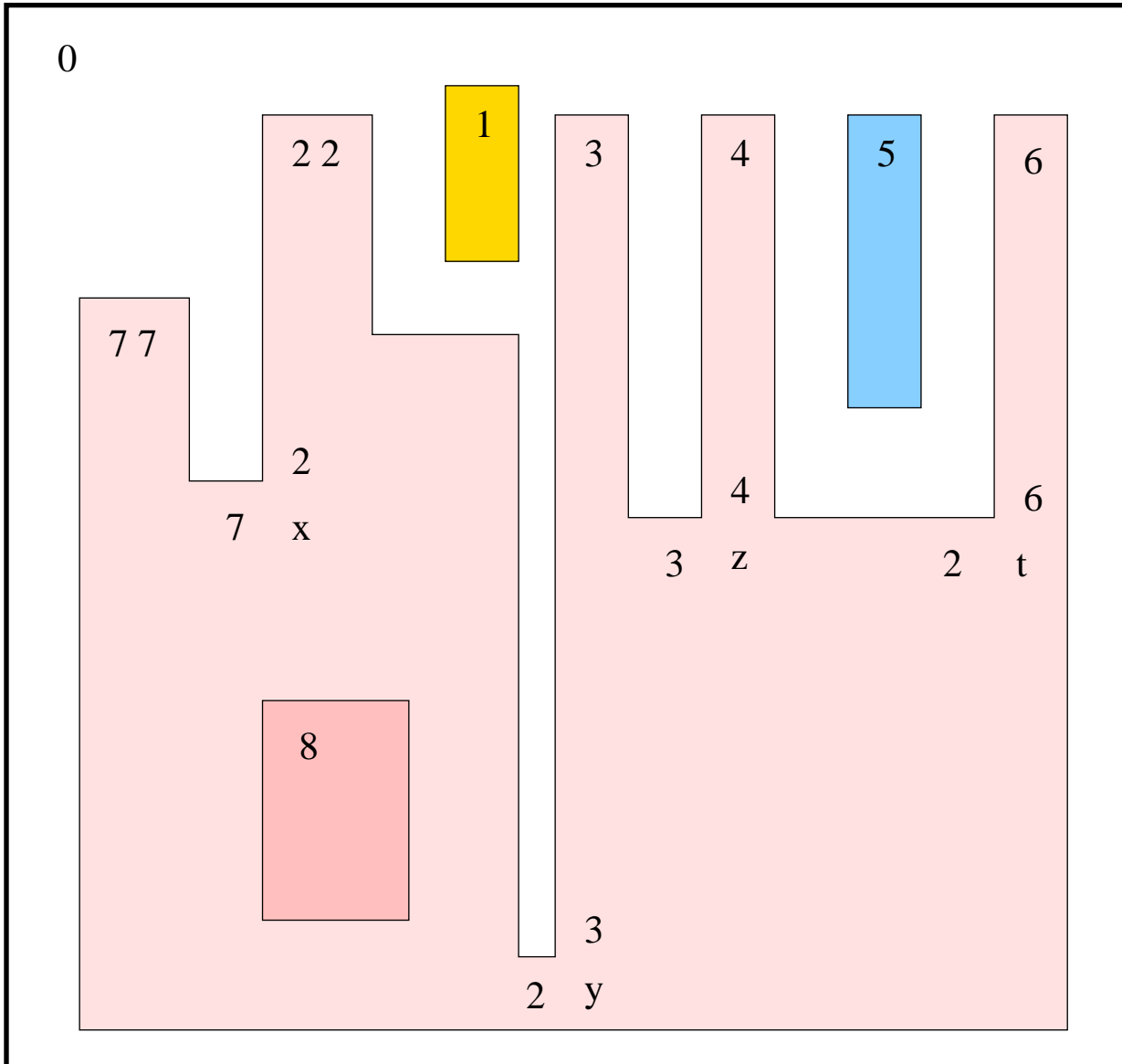
○ Principe

associer une étiquette à chaque composante connexe
(dénombrer et isoler les objets)

○ Algorithme

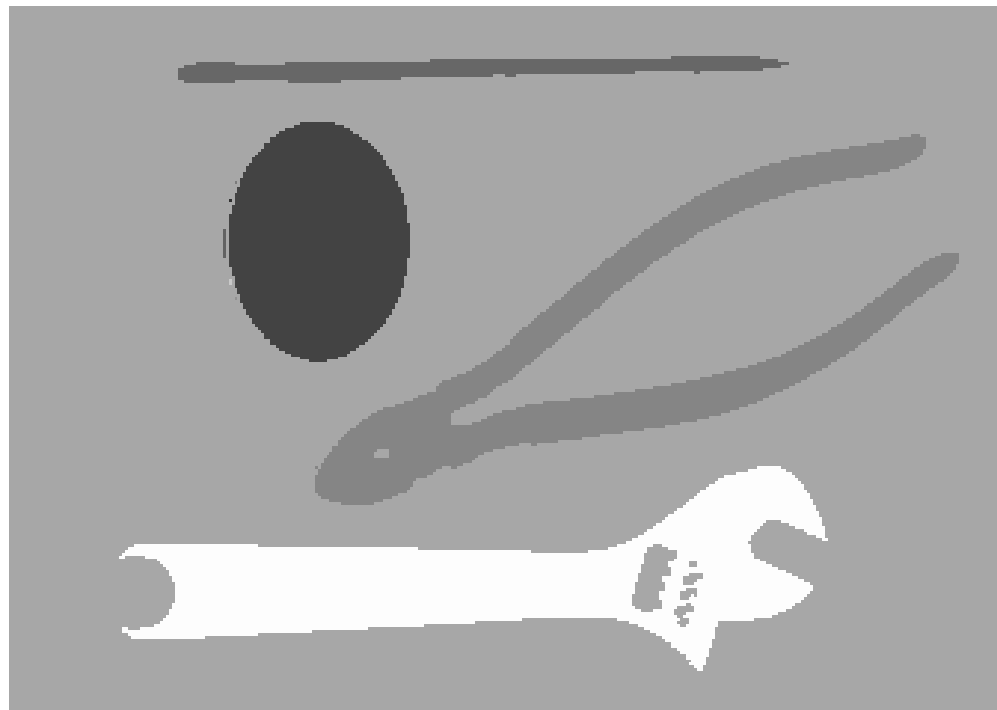
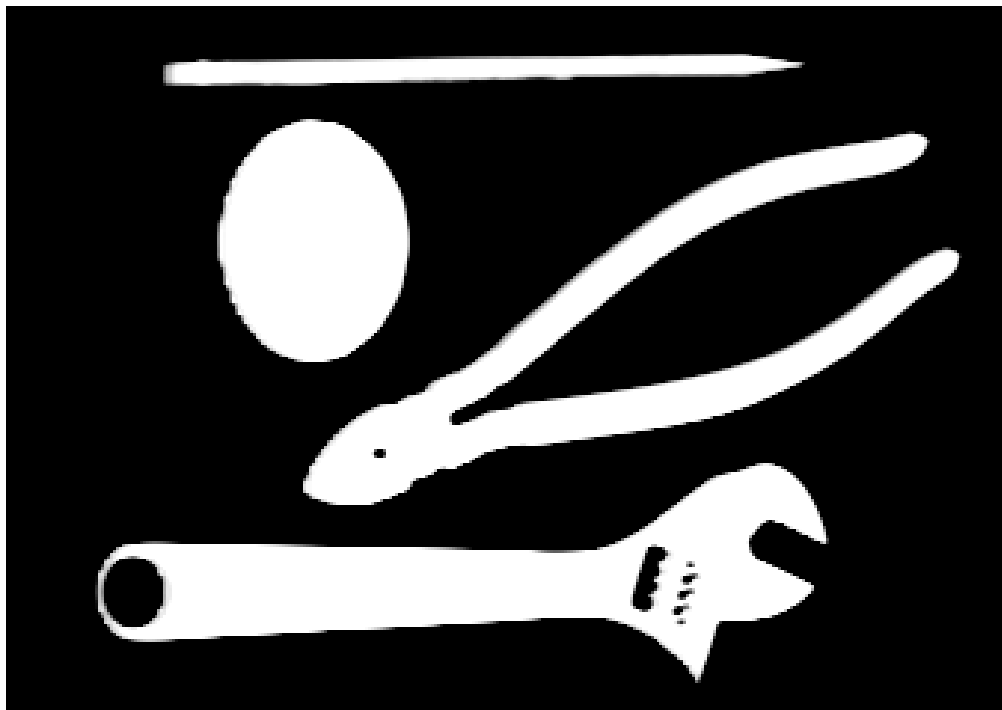
- 2 passes sur l'image
- liste d'étiquettes mise à jour
- étiquetage des points
- remplacement des étiquettes par les étiquettes terminales le cas échéant
(! choix de la connexité important)

Préliminaire : étiquetage



étiquette initiale	pointeur	étiquette finale
0		0
1		1
2		2
3	→ 2	2
4	→ 3	2
5		3
6	→ 2	2
7	→ 2	2
8		4

Préliminaire : étiquetage

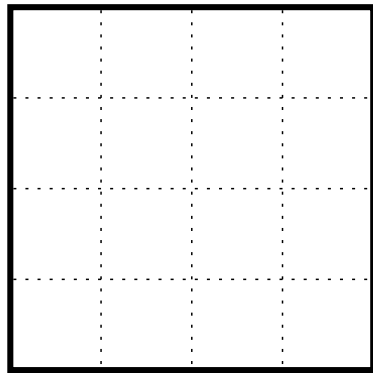


Description de formes Caractérisation des objets binaires

o Grandeurs géométriques

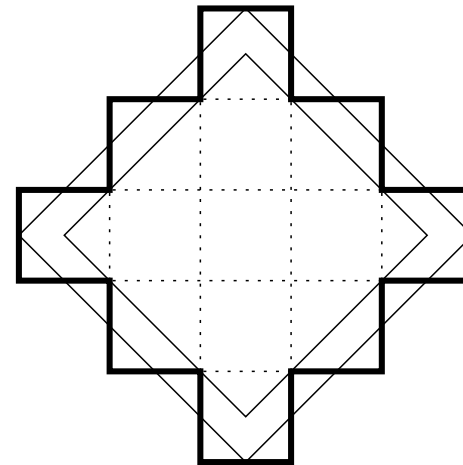
aire : nombre de pixels de S

périmètre : nombre de pixels de S voisins d'un pixel de \bar{S}



$$A = 16$$

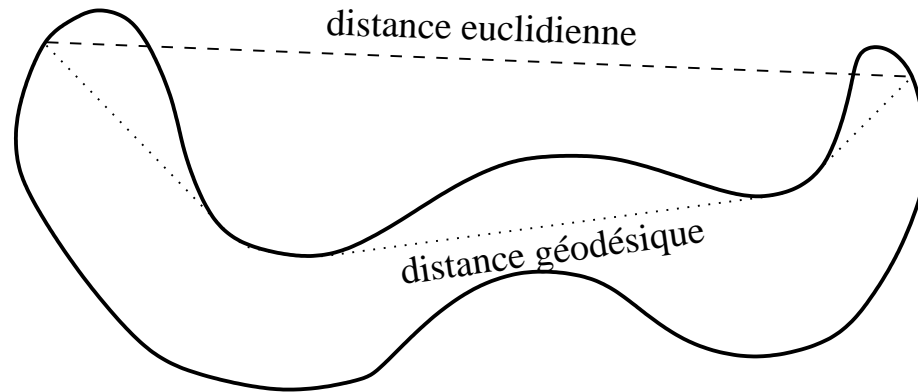
$$P = 16$$



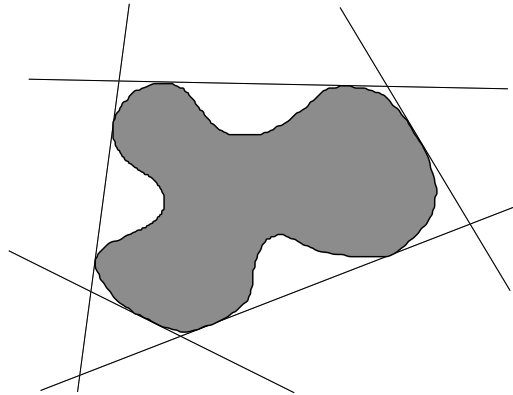
$$A = 13$$

$$P = \begin{cases} 4 \times 5 = 20 \\ 4 \times 2,5\sqrt{2} = 14,1 \\ 4 \times 2\sqrt{2} = 11,3 \end{cases}$$

diamètre : plus grande distance entre deux points de l'objet
(choix de la distance : euclidienne ou géodésique)



enveloppe convexe : intersection de tous les demi-plans contenant l'objet



Description de formes

- Indices de forme

- *rapport isopérimétrique* :

$$p = \frac{\text{carré du périmètre}}{4\pi \text{ surface}}$$

≥ 1 , $=1$ pour un disque

- *allongement* :

$$p = \frac{\text{rayon du plus grand cercle inscrit}}{\text{rayon du plus petit cercle circonscrit}}$$

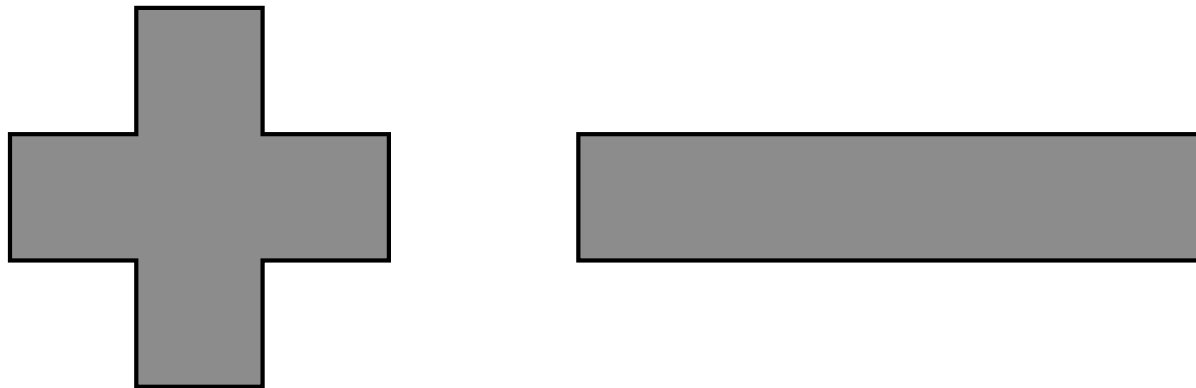
$=0$ pour une courbe, $=1$ pour un cercle

- *concavité*

$$p = \frac{\text{périmètre de l'enveloppe convexe}}{\text{périmètre de l'objet}}$$

Description de formes

- Pas toujours discriminant



même aire et même périmètre \Rightarrow même circularité

- **Utilisation**

- classification par nuées dynamiques dans l'espace de formes
- adaptés pour de grands objets
problème de discrétisation pour de petits objets

Description de formes

◦ Représentation par les moments

$$M_{m,n} = \iint x^m y^n f(x,y) dx dy \qquad M_{m,n} = \sum_{(x,y) \in S} x^m y^n$$

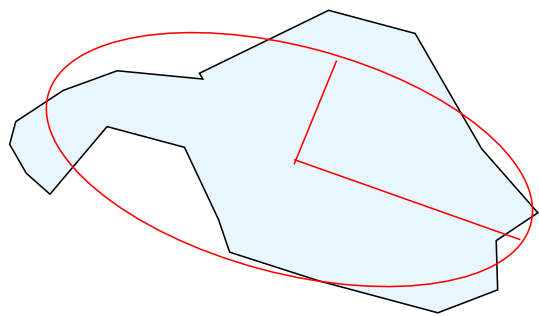
ordre 0 : $M_{0,0}$ = surface de l'objet

ordre 1 : centre de gravité de l'objet $\bar{x} = \frac{M_{1,0}}{M_{0,0}}$ $\bar{y} = \frac{M_{0,1}}{M_{0,0}}$

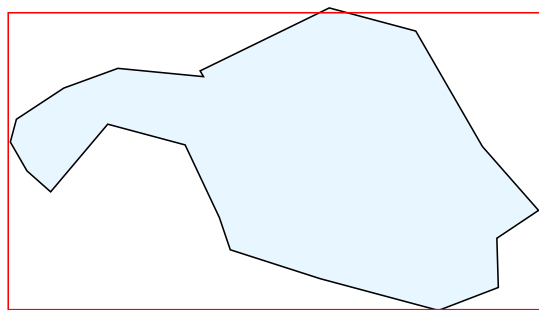
ordre 2 : paramètres de l'ellipsoïde d'inertie

(moments centrés, invariants par translation) :

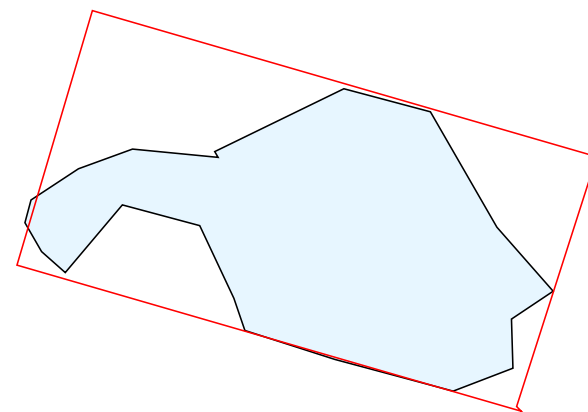
$$\theta = \frac{1}{2} \operatorname{arctg} \frac{2M'_{1,1}}{M'_{2,0} - M'_{0,2}} \quad \text{avec} \quad \begin{cases} M'_{2,0} & = & \frac{M_{2,0}}{M_{0,0}} - \bar{x}^2 \\ M'_{0,2} & = & \frac{M_{0,2}}{M_{0,0}} - \bar{y}^2 \\ M'_{1,1} & = & \frac{M_{1,1}}{M_{0,0}} - \bar{x}\bar{y} \end{cases}$$



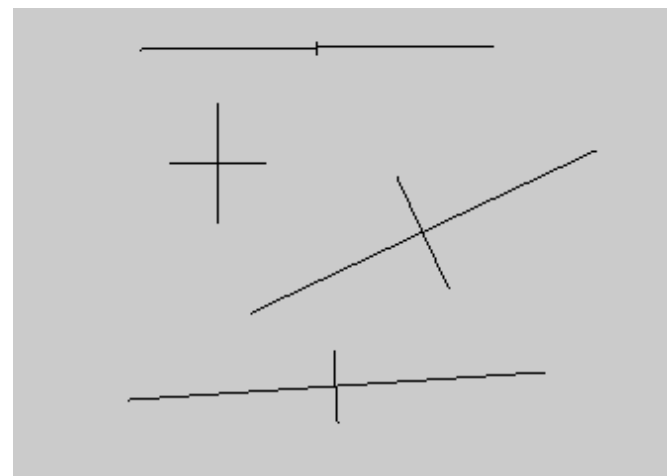
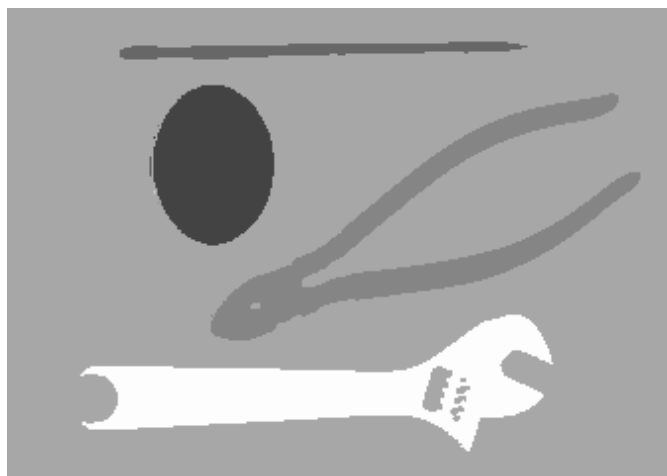
a

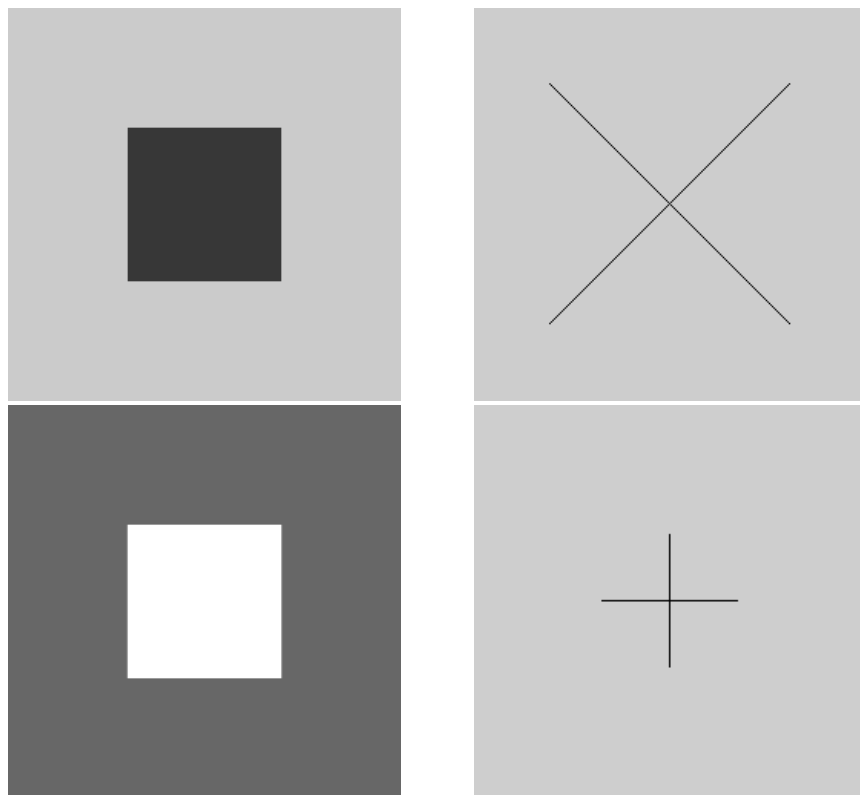


b



c





Description des contours

Caractérisation de la forme par ses contours

- **Représentation des contours**

- codage de Freeman

- signature

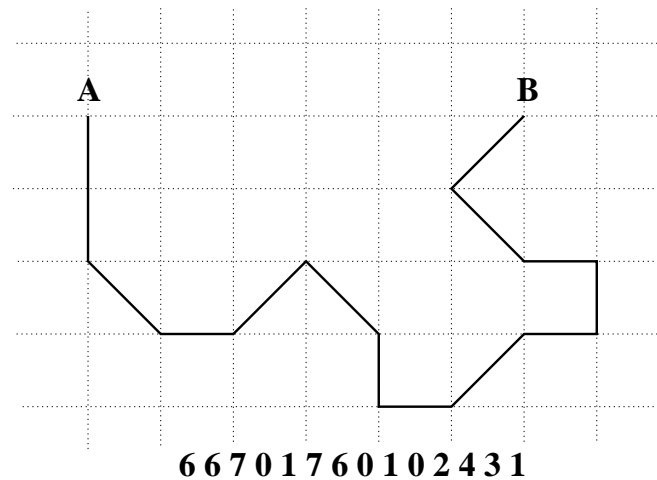
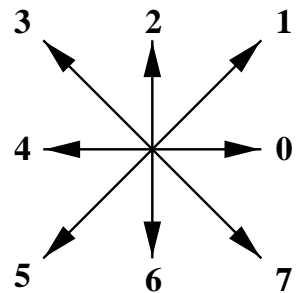
- descripteur de Fourier

- **Approximation polygonale des contours**

Codage de Freeman

Méthode la plus ancienne de description des contours (MPEG-4)

- **Principe** codage des directions du contour dans un repère absolu à partir d'une origine donnée
 - coordonnées cartésiennes du premier point
 - liste des déplacements (4-connextité sur 2 bits, 8 connextité sur 3 bits)



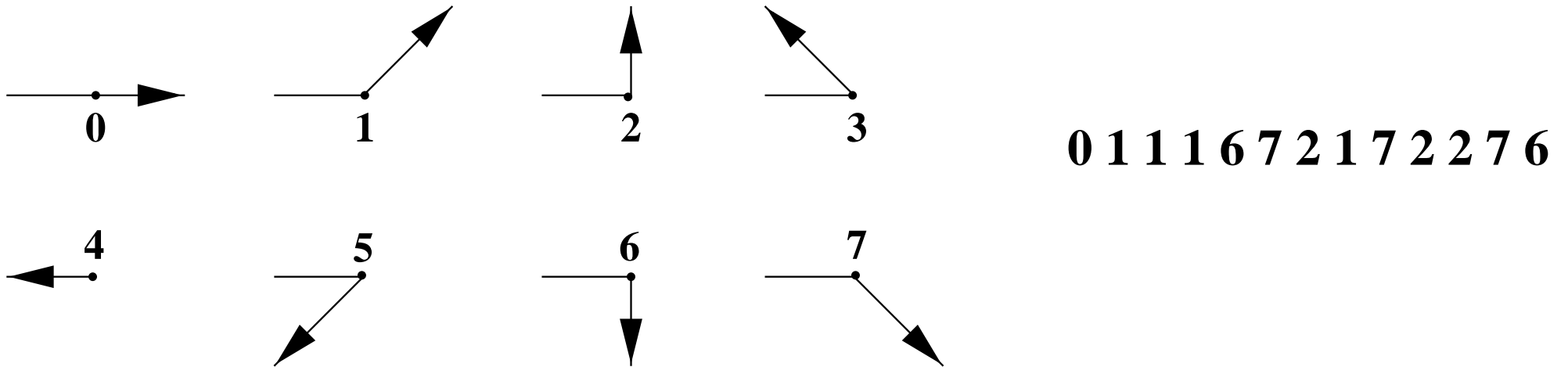
- **Propriétés**

- invariant par translation
- rotation (multiple de 45°) = addition modulo 8

Codage de Freeman relatif

codage de façon différentielle

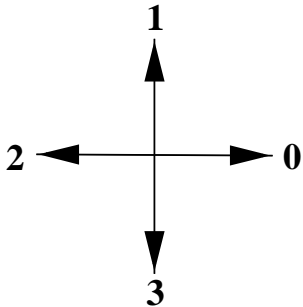
- coordonnées cartésiennes du premier point + 1er déplacement
- liste des changements de direction



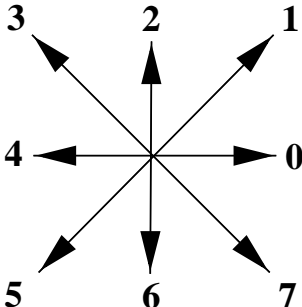
o Propriétés

- invariant par translation
- invariant par rotation d'un multiple de 45°

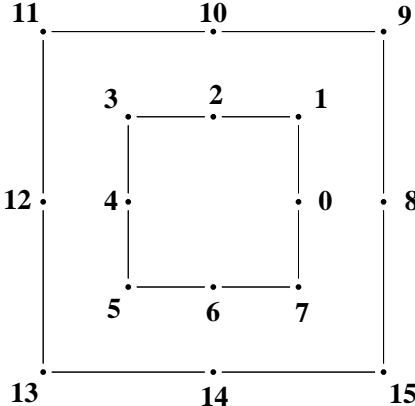
Codage de Freeman



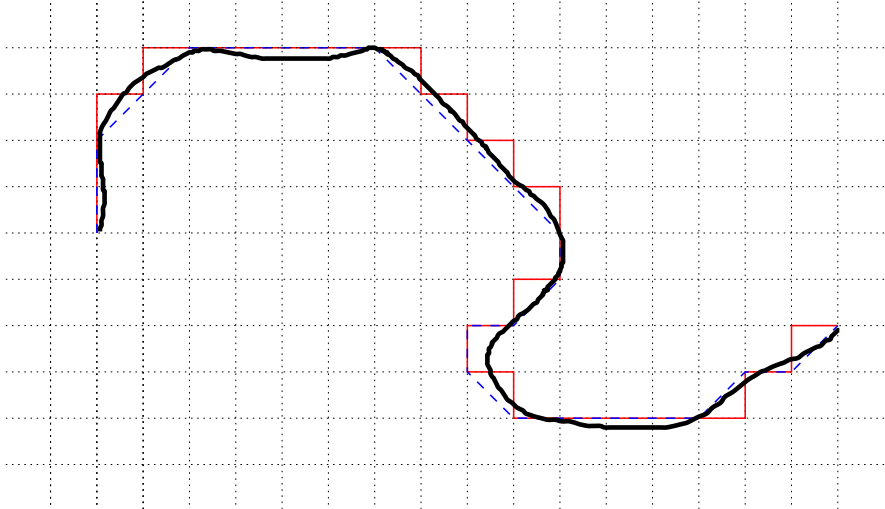
4 directions : 2 bits



8 directions : 3 bits



16 directions : 4 bits

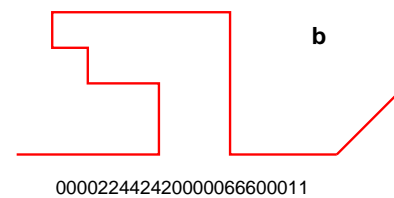
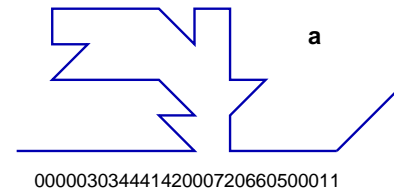


1110100000030303033232303000001010	34 x 2 = 68 bits
221100007777654670000101	24 x 3 = 72 bits
1098815156546788101	16 x 4 = 64 bits

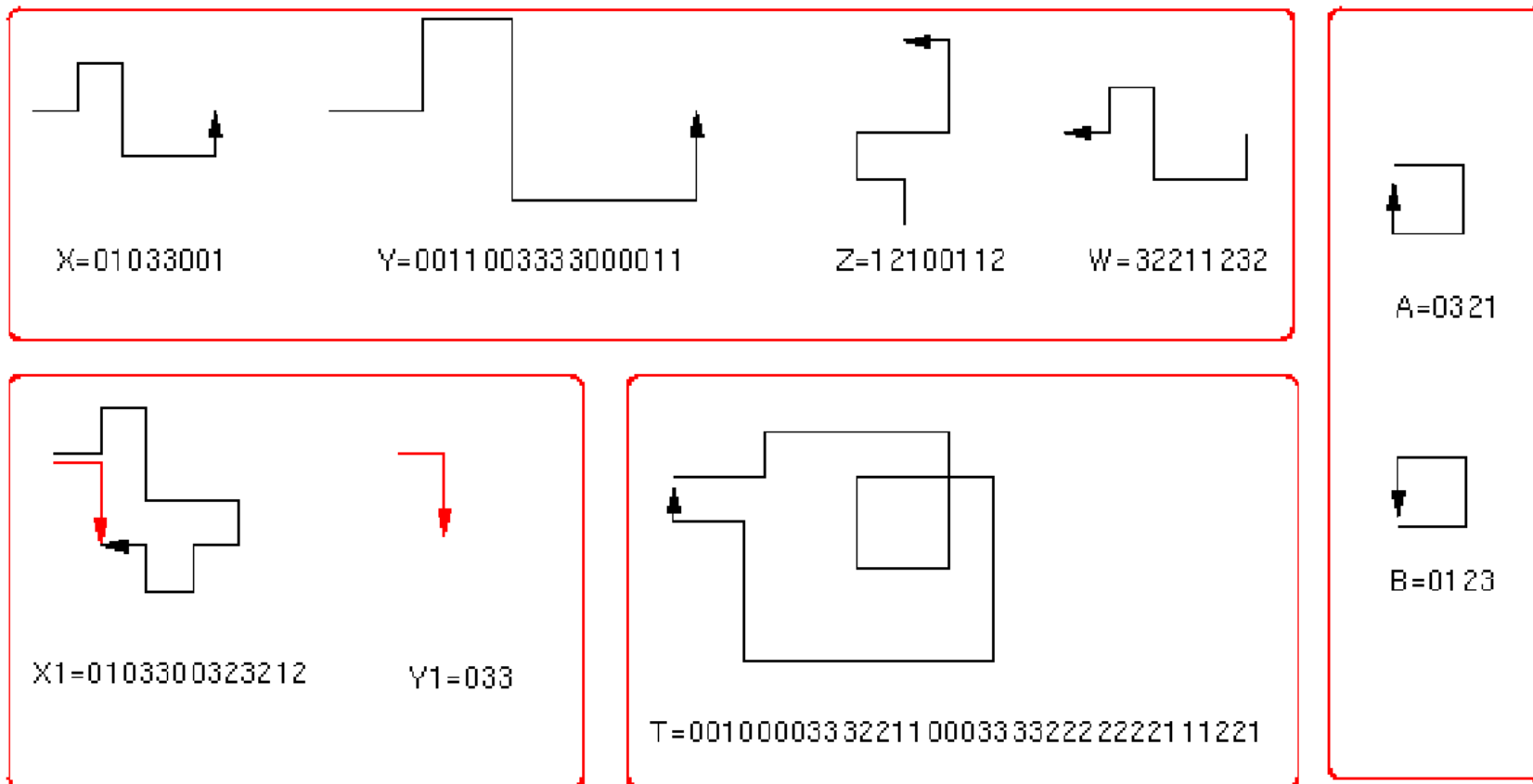
Propriétés des chaînes de Freeman

- dilatation, rotation, longueur, inversion d'un chemin, simplification d'un chemin

	0	1	2	3	4	5	6	7
0			1	2		6	7	
1					2		0	
2	1				3	4		0
3	2						4	
4		2	3				5	6
5	6		4					
6	7	0		4	5			
7			0	6				



Propriétés des chaînes de Freeman



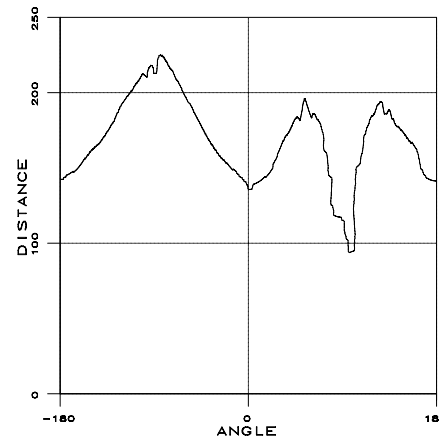
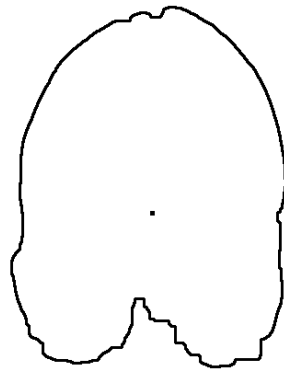
- comparaison des chaînes par l'algorithme de Wagner et Fisher

Signature d'un contour

○ Principe

- centre de gravité = origine d'un système de coordonnées polaires
- liste des distances à l'origine en fonction de l'angle :

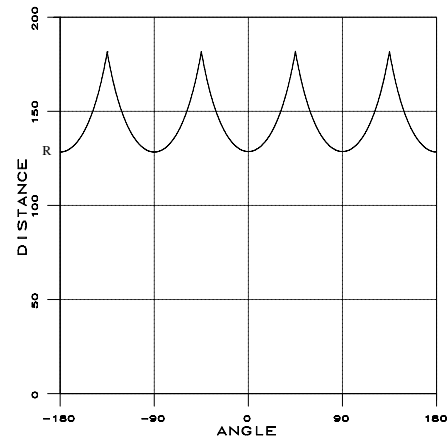
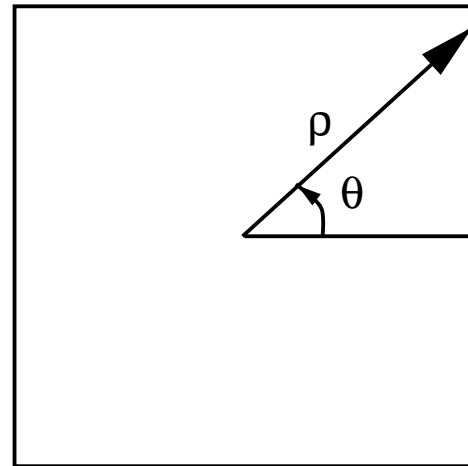
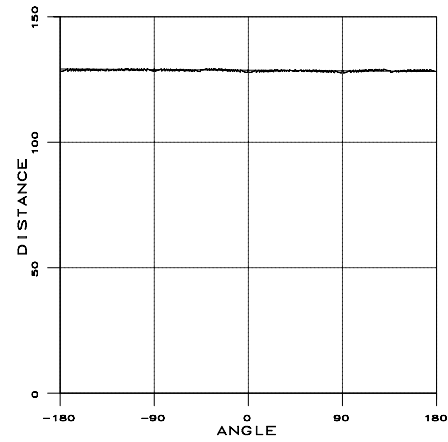
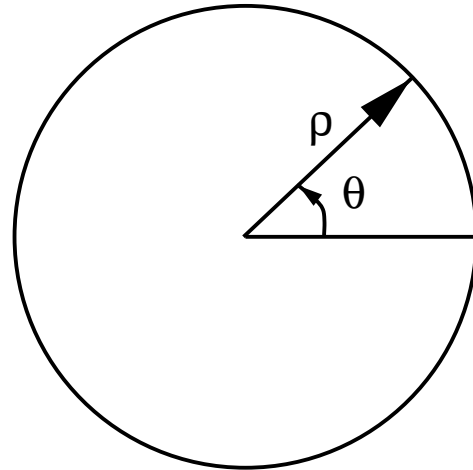
⇒ fonction $\rho(\theta)$



○ Propriétés

- invariant par translation
- détection de petits défauts
- rotation = translation selon θ

Signature d'un contour - exemples

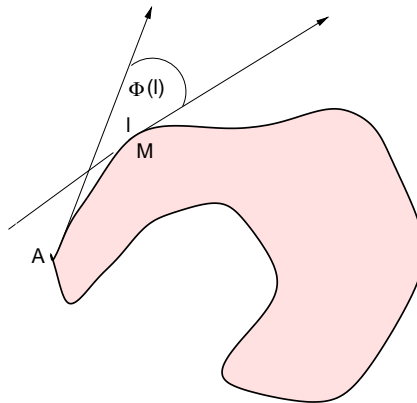


Descripteurs de Fourier

◦ Descripteurs par tangente

- description du contour par son abscisse curviligne s (origine A)
- $\phi(s)$: angle fait par le vecteur tangent en s avec celui en A

$$\Phi(t) = \phi \left[\frac{2\pi \cdot s}{L} \right] - \frac{2\pi s}{L}$$



$\Phi(t)$ fonction périodique sur $[0, 2\pi[$, série de Fourier :

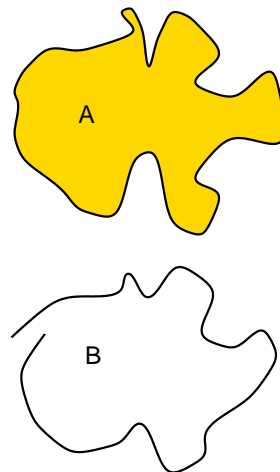
$$\Phi(t) = \sum_{k=0}^{\infty} a_k \exp(-ikt).$$

descripteurs de Fourier = ensemble des $\{|a_k|\}$.

Descripteurs de Fourier

○ Propriétés

- invariants par translation de la forme
- invariants par rotation
- invariants par changement d'origine
- comparaison de formes = comparaison des descripteurs par ordre croissant
- simplification de contours = suppression des ordres élevés (contour pouvant devenir non fermé)



Descripteurs de Fourier

○ Représentation complexe

- forme décrite par un ensemble M_j de points de contours ($M_j = x_j + iy_j$)
- descripteurs de Fourier = coefficients de la transformée en Z des z_j :

$$Z_k = \frac{1}{N} \sum_{j=1}^N z_j \exp(-2\pi i \frac{jk}{N})$$

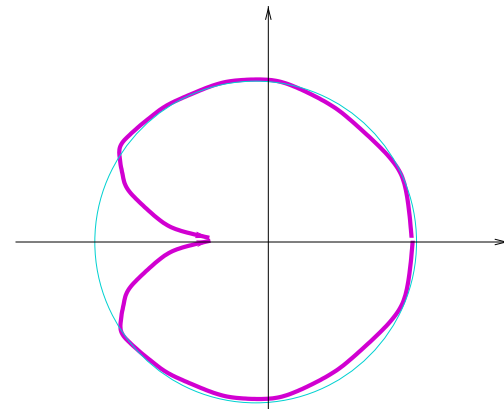
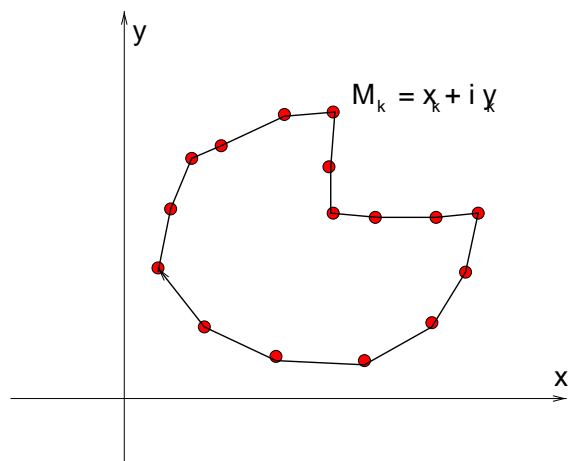
coefficients Z_k , pour $k \in [-N/2 + 1, N/2]$

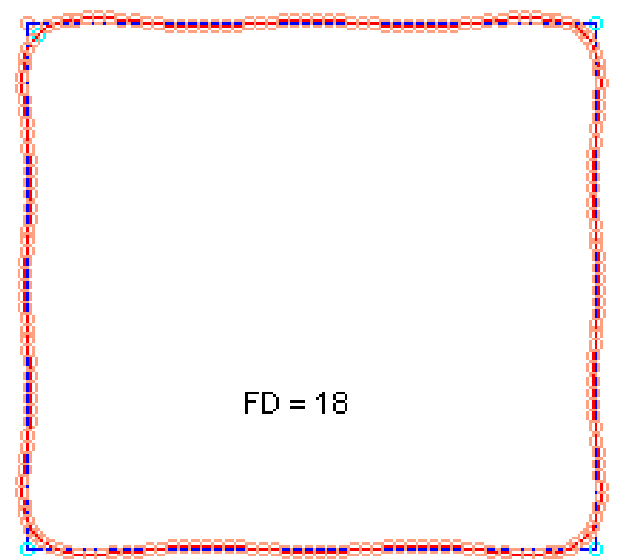
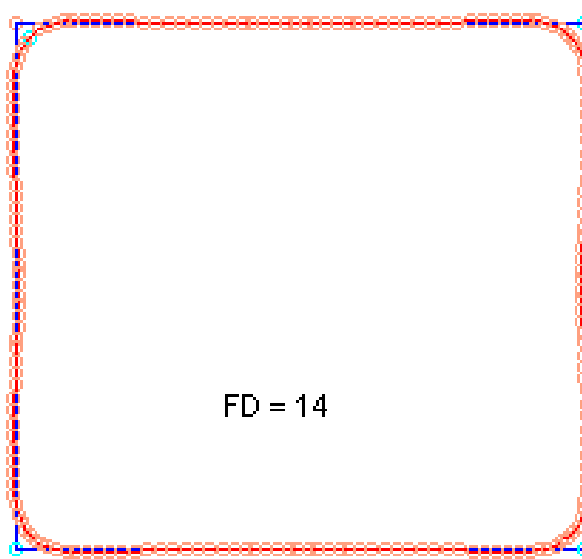
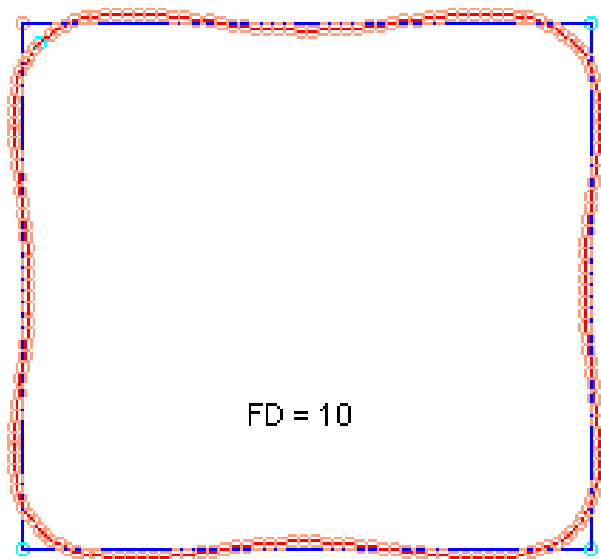
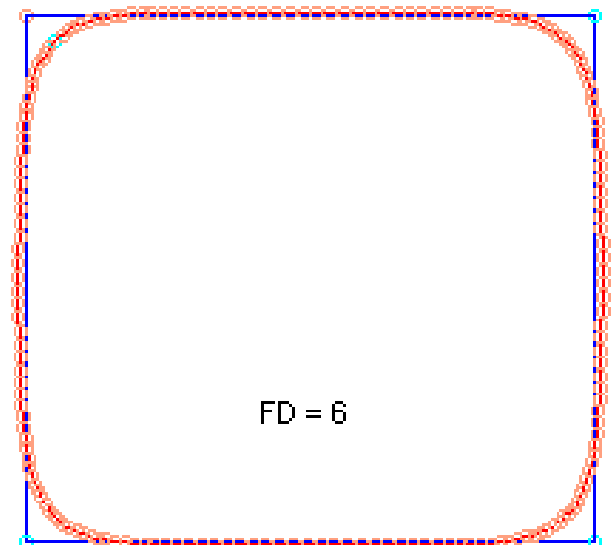
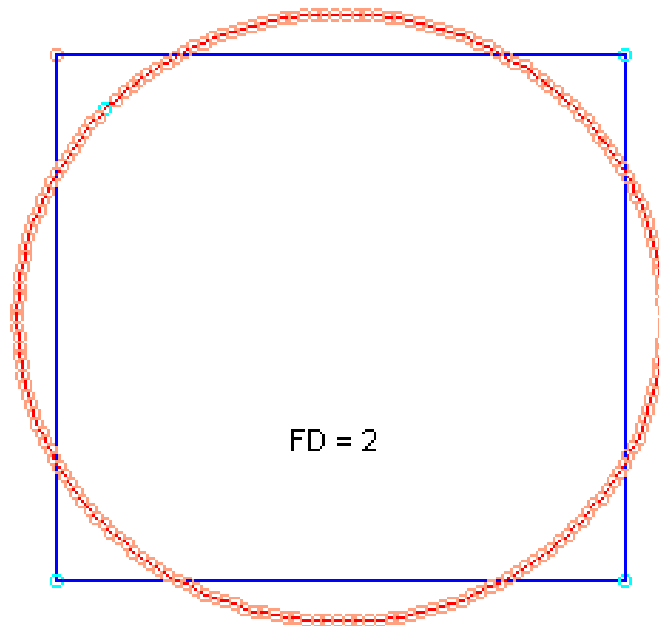
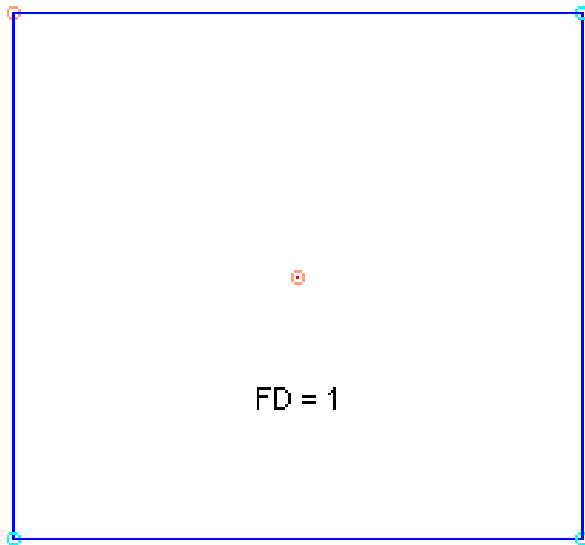
○ Propriétés

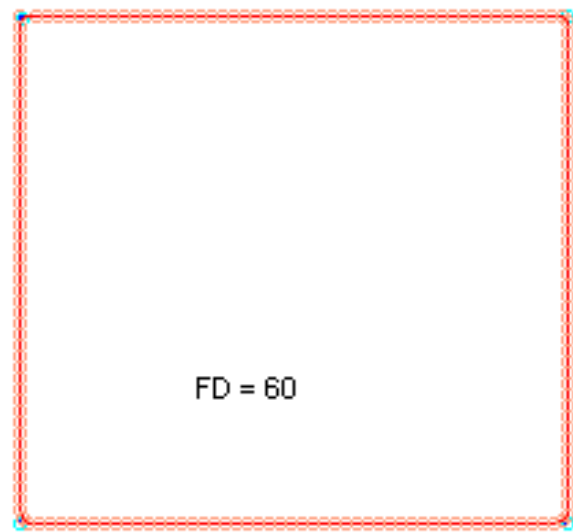
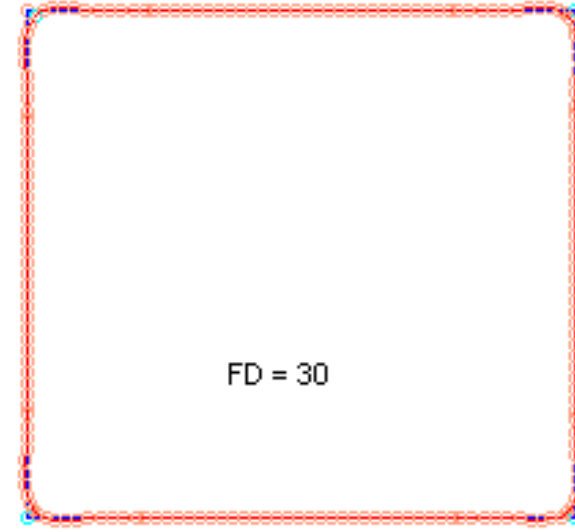
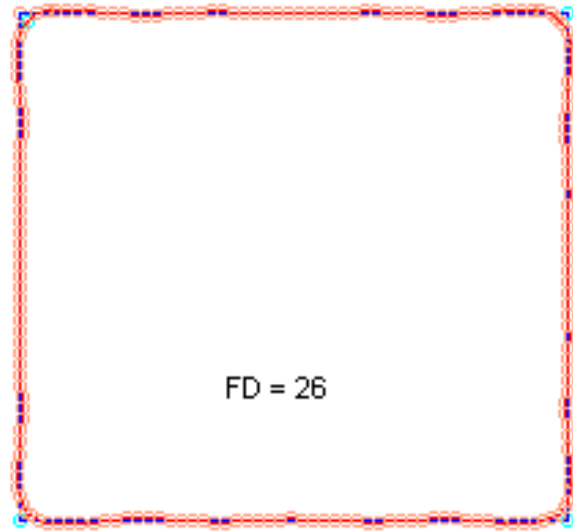
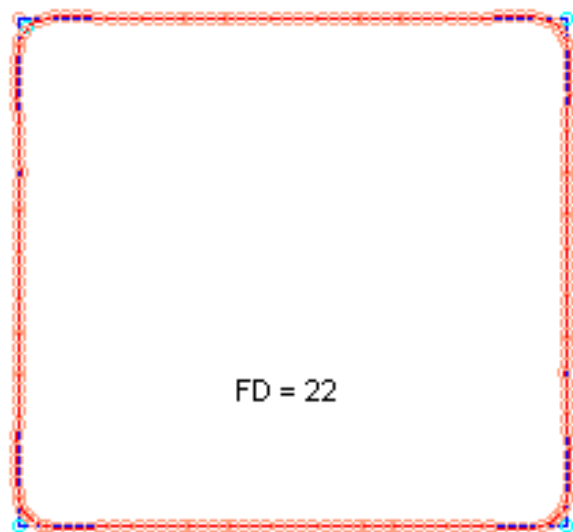
- $k = 0$, Z_0 = centre de gravité de la forme
- $Z_k = 0$ sauf pour $k = 1$, forme = cercle de rayon Z_1
(Z_1 = facteur d'échelle; si normalisation, forme invariante par homothétie)
- coefficients $Z_{|k|}$ et $Z_{|1-k|}$ = rôles opposés mais symétriques sur la courbe

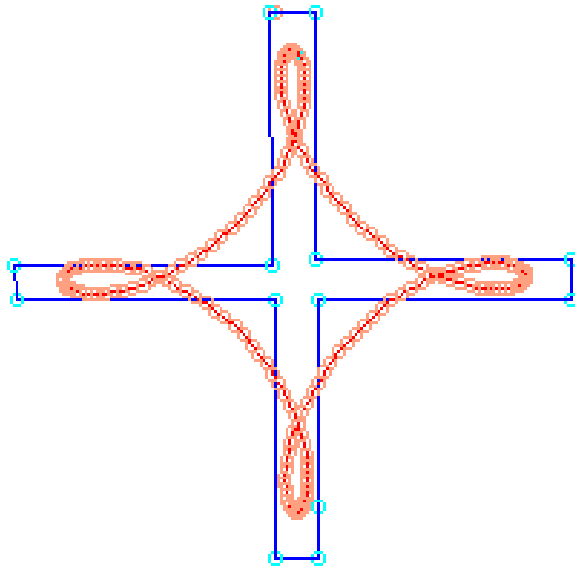
Descripteurs de Fourier

- **ordre k** = nombre d'actions sur le cercle unité (entre 0 et 2π) :
 - 1 action pour $k = 2$ et $k = -1$,
 - 2 actions pour $k = 3$ et $k = -2$,
 - 3 actions pour $k = 4$ et $k = -3$, etc.
 - valeurs de $k > 0$: actions de traction sur la courbe (pour la déformer vers l'extérieur du cercle unité),
 - valeurs de $k < 0$: actions de pression sur la courbe (pour creuser la courbe vers son centre)
 - phase du nombre complexe $Z_k : \phi_k$: lieu sur le cercle unité où s'exerce l'action
- **nombre de coefficients**
 - coefficients nombreux \Rightarrow forme complexe
 - coefficients d'ordre élevés \Rightarrow détails fins sur la courbe.

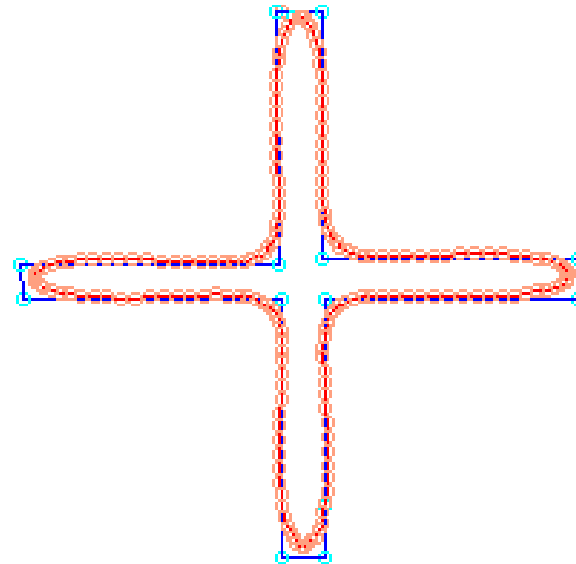




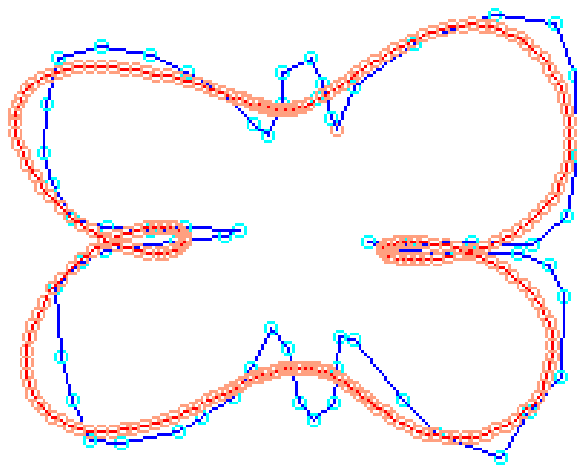




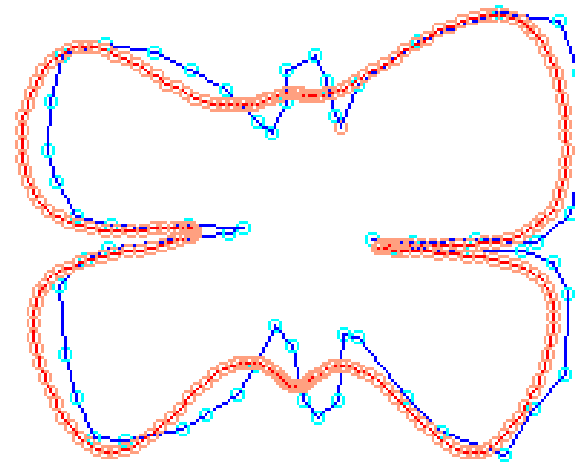
Number of FD: 9



Number of FD: 10



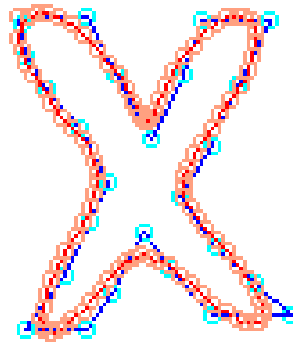
Number of FD: 17



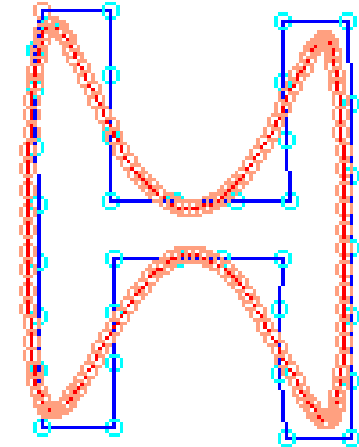
Number of FD: 20



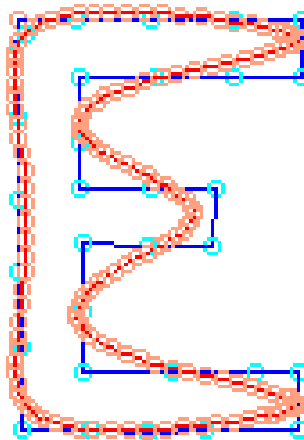
Number of FD: 6



Number of FD: 10



Number of FD: 8



Number of FD: 8

Approximations polynomiales

Préliminaire : approximation d'un nuage de points par une droite unique

○ Approximation par régression linéaire

$M_i = (x_i, y_i)$, N points

approche par moindres carrés

droite $\Delta : y = ax + b$ minimisant l'équation :

$$d_1^2 = \sum_i^N [y_i - (ax_i + b)]^2$$

solution :

$$A = X^\# Y = (X^t X)^{-1} X^t Y$$

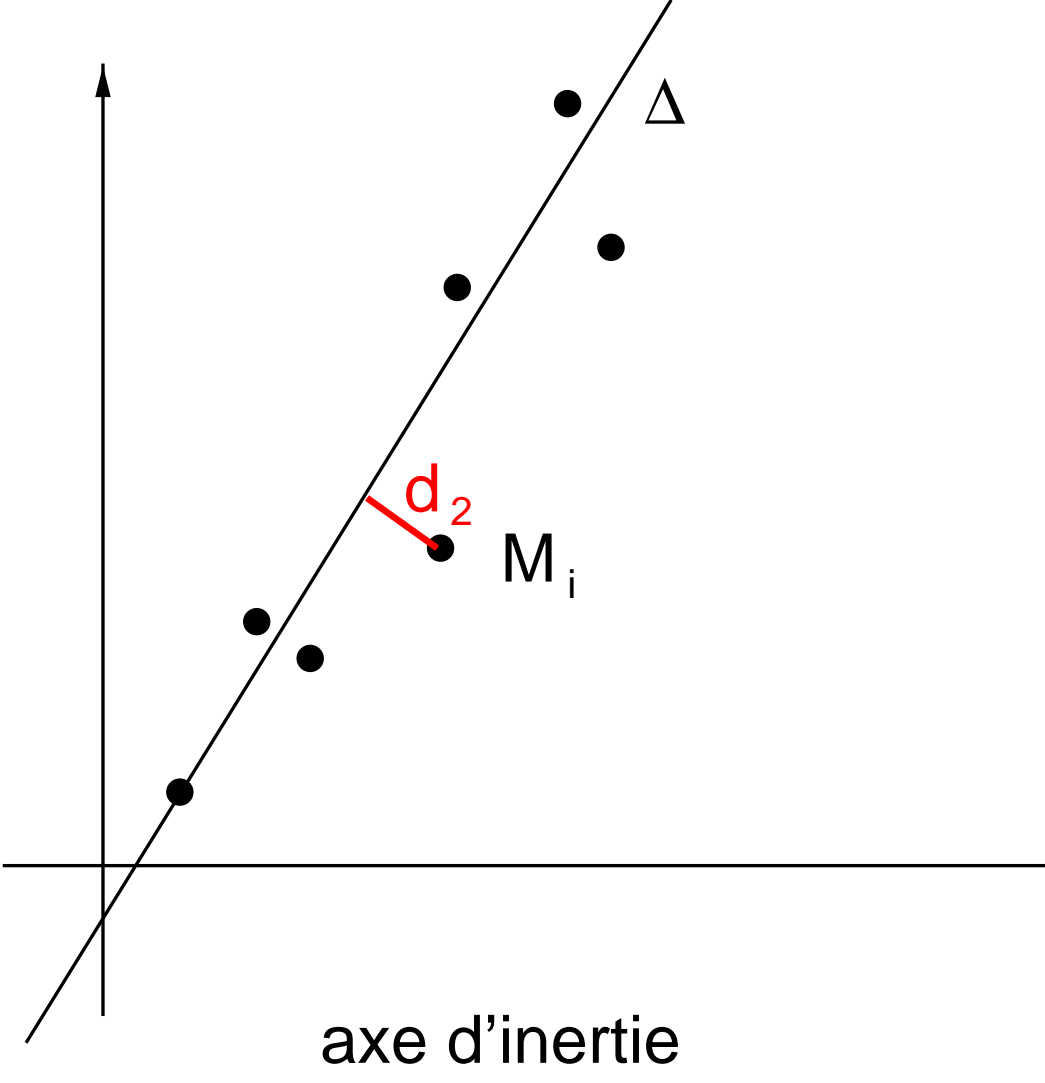
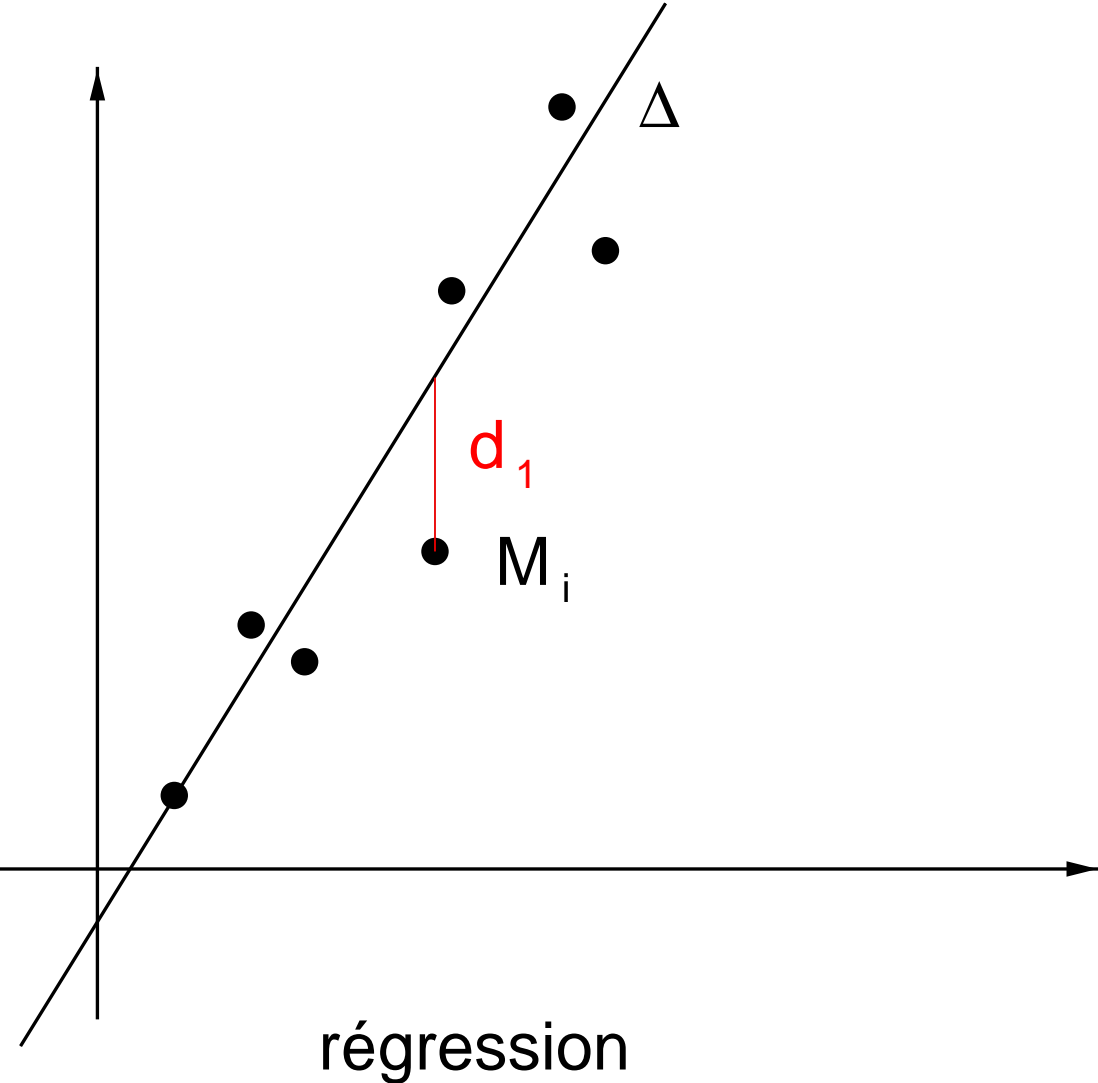
$$X = \begin{bmatrix} 1 & x_1 \\ 1 & x_2 \\ \dots & \dots \\ 1 & x_N \end{bmatrix}$$

$$Y = [y_1, y_2, \dots, y_N]^t \quad \text{et} \quad A = [ab]^t$$

ce qui s'écrit :

$$a = \frac{\text{cov}(X, Y)}{\text{var}X} \quad \text{et} \quad b = E(Y) - aE(X)$$

Approximations polynomiales



Approximations polynomiales

○ Approximation par axe principal d'inertie

droite Δ : minimisant l'équation $ax + by + c = 0$

(avec la contrainte $a^2 + b^2 = 1$) :

$$d_2^2 = \sum_i^N [ax_i + by_i + c]^2 + \lambda(1 - (a^2 + b^2))$$

- (a, b) le vecteur propre associé à la plus petite valeur propre de la matrice de covariance

- c tel que $aE(x) + bE(y) + c = 0$

Approximations polynomiales

Approximations robustes :

problème du bruit dans les observations (*outliers*)

- **Moindres carrés tronqués**

- première approximation aux moindres carrés
- suppression des points les plus éloignés (test statistique)
- itération...

- **Moindres médians**

- tirage aléatoire d'ensembles de points
- calcul des paramètres
- sélection des valeurs médianes
- au maximum 20% d'outliers

Approximations polynomiales

Approximations robustes :

- **Moindres médians bis**

- tirage aléatoire d'ensembles de points
- calcul des paramètres
- calcul des erreurs pour tous les points et sélection de l'erreur médiane
- sélection des paramètres correspondant à la plus petite valeur médiane
- au maximum 50% d'outliers

- **Méthode RanSac (Random Sample Consensus)**

- tirage aléatoire d'ensembles de points
- calcul des paramètres
- calcul du nombre de points dont l'erreur est inférieure à un seuil ϵ
- sélection des paramètres maximisant ce nombre

Approximations polynomiales

Approximations robustes :

- **Les M-estimateurs**

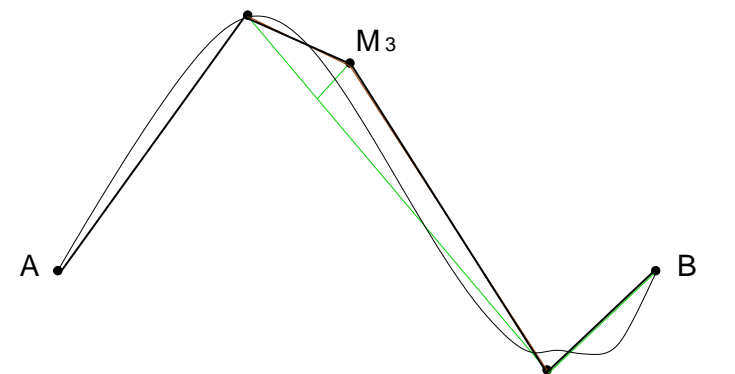
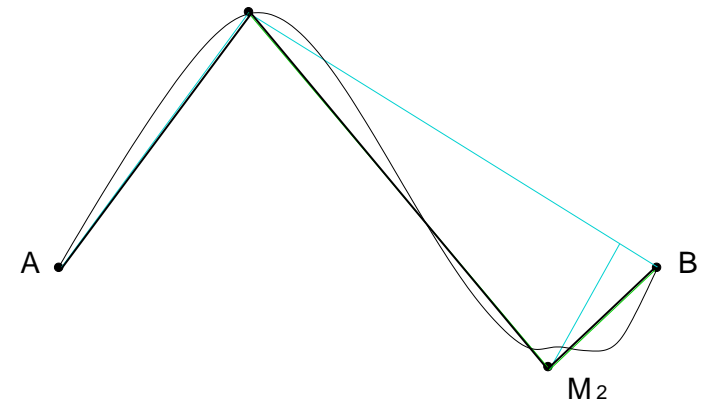
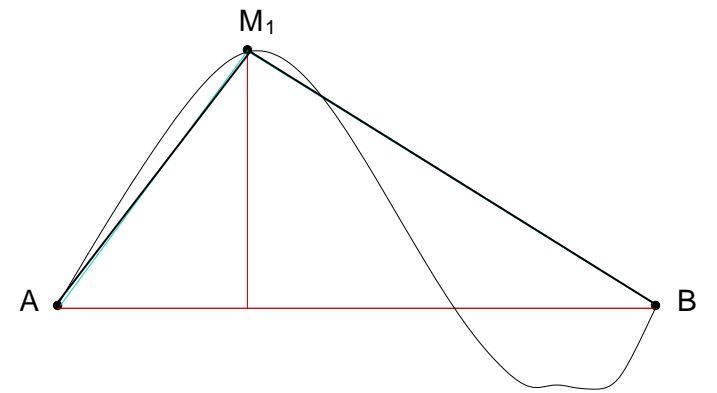
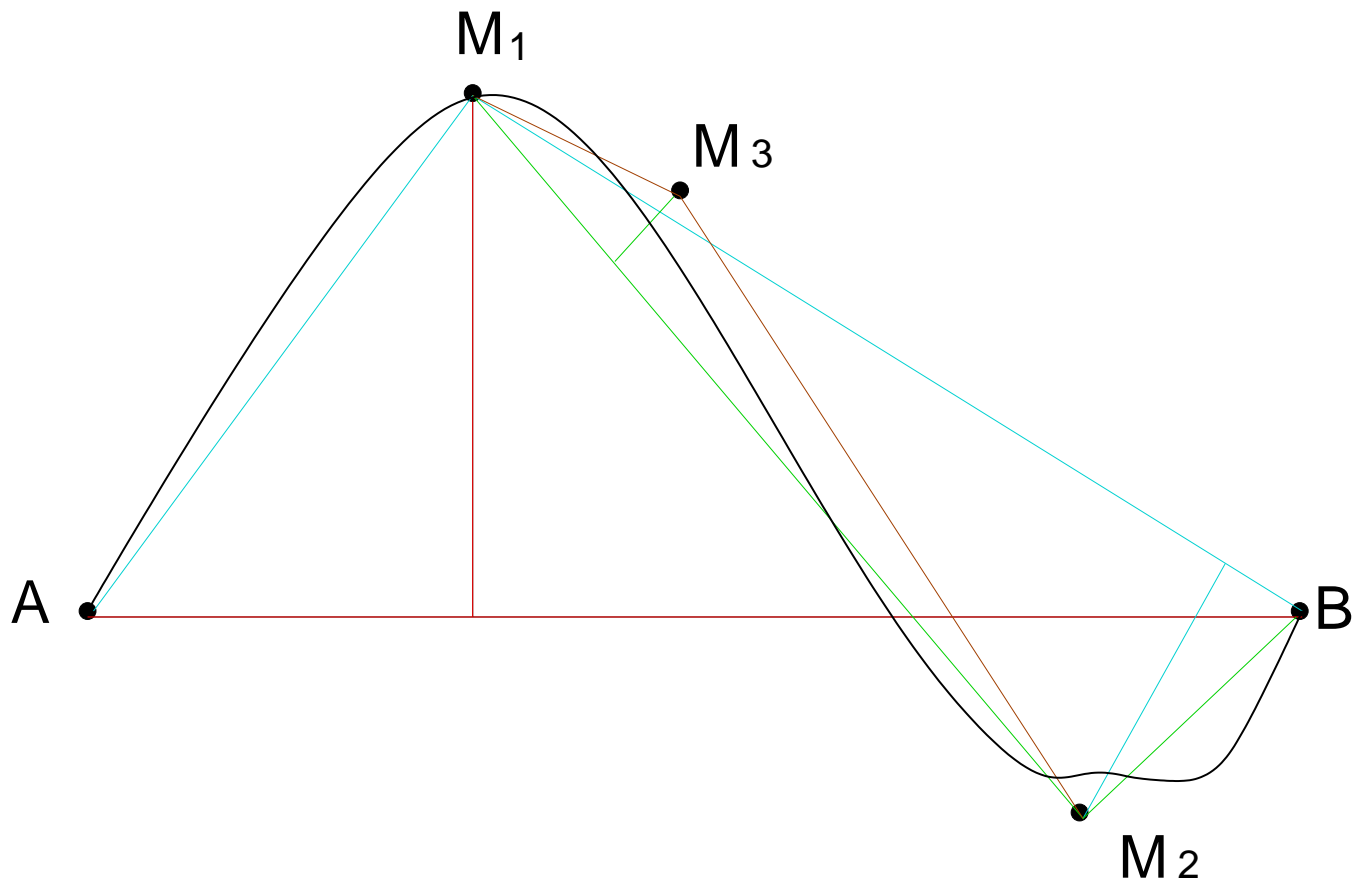
- initialisation (par exemple aux moindres carrés)
- calcul des erreurs (distances) pour chaque point
- pondération des points en fonction de leur distance (quadratique tronquée)
- nouveau calcul des paramètres
- itération du procédé

Approximations polygonales des contours

réduction d'une courbe Γ continue ou finement échantillonnée à une ligne polygonale

- **Algorithme de la corde**

- subdivision récursive ou itérative à chaque étape
- sommets du polygone = points de Γ les plus éloignés des cordes précédemment tirées
- arrêt du processus : nouvelle distance candidate inférieure à un seuil ϵ fixé.



Transformation de Hough

Reconnaissance de courbes *paramétrées*

- **Principe**

associer au plan image un espace d'accumulateurs lié aux paramètres de la courbe recherchée

Détection de courbes dans le plan image (espace \mathcal{I})



Recherche de maxima dans l'espace des accumulateurs (espace \mathcal{H})

Transformation de Hough

Recherche de droites

- **TH de 1 à m**

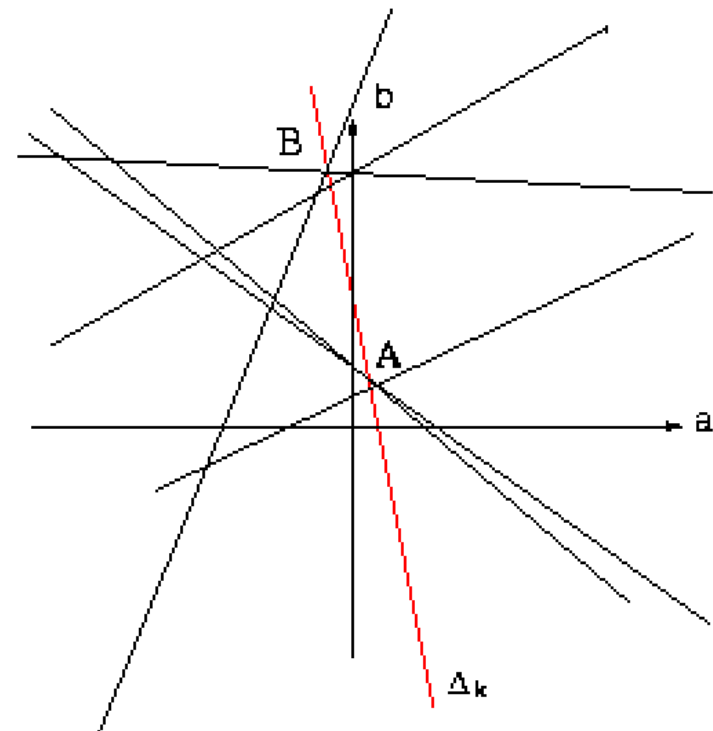
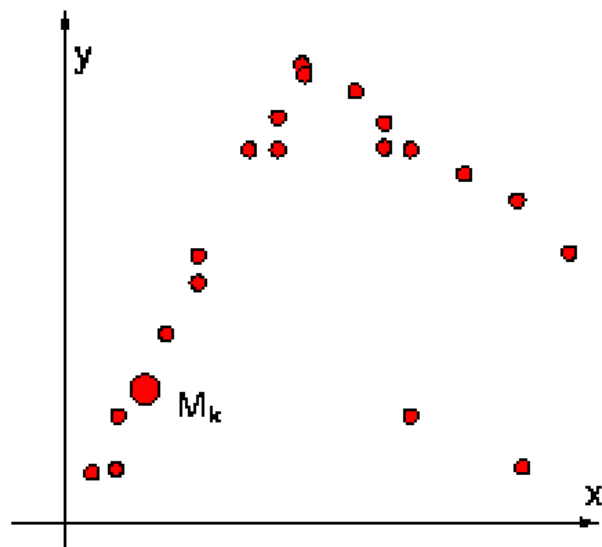
un point de l'espace image \Rightarrow une courbe dans l'espace des paramètres

soit $M_i = (x_i, y_i)$

si $M_i \in D_i$ alors $y_i = ax_i + b$ soit $b = -x_i a + y_i$

\Rightarrow équation d'une droite dans l'espace (a, b)

(à un point de \mathcal{I} est associé m points de \mathcal{H})



recherche des intersections des droites dans \mathcal{H}

Transformation de Hough

Recherche de droites

- **TH de m à 1**

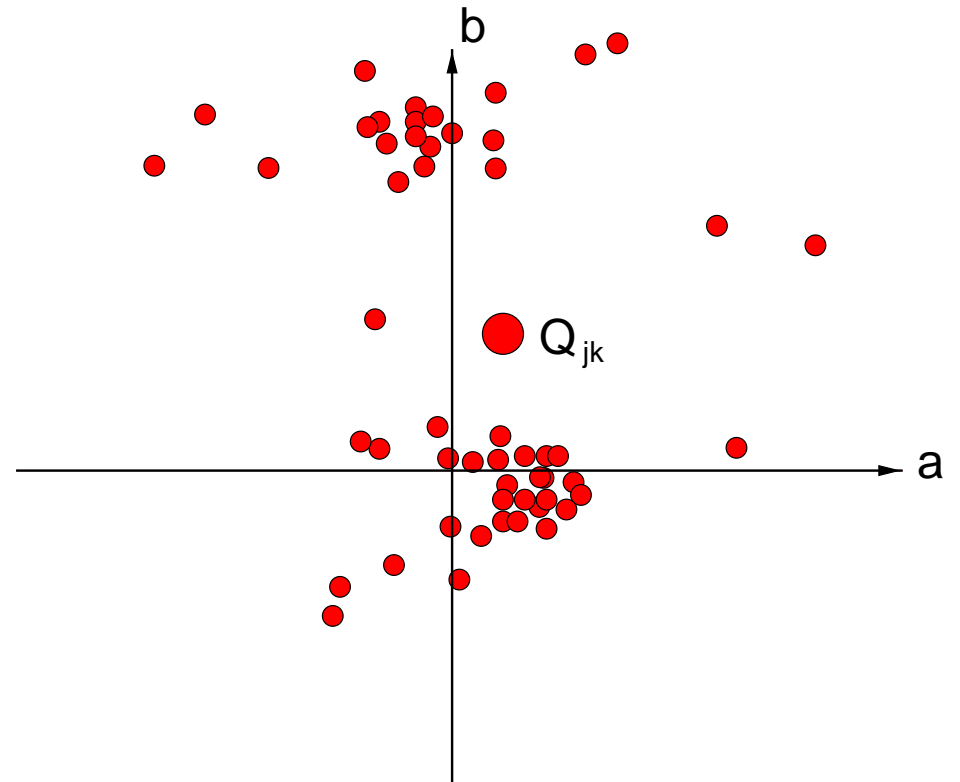
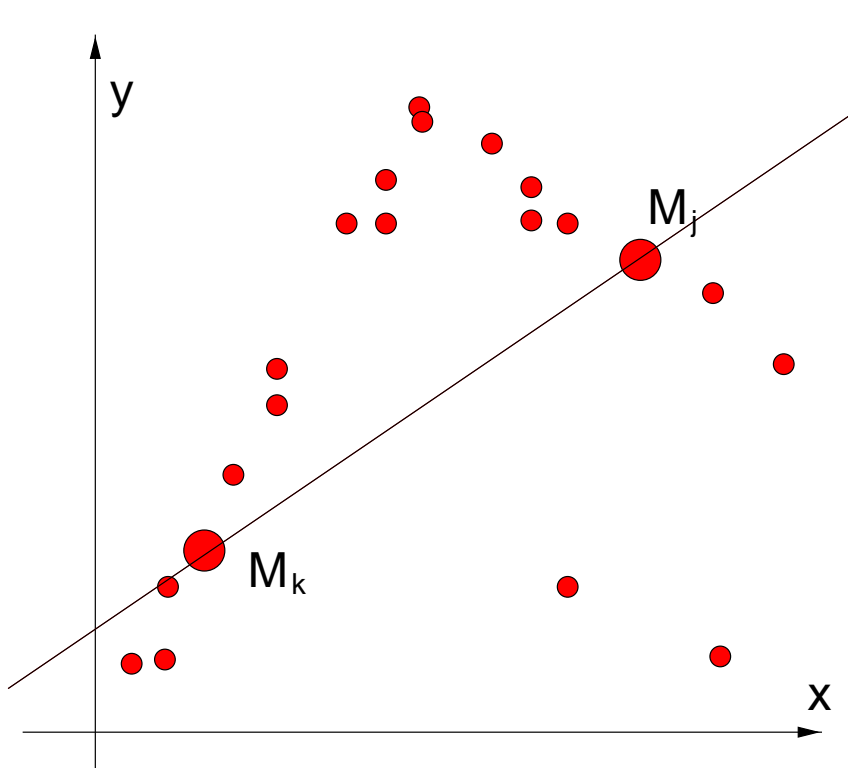
un bipoint de l'espace image \Rightarrow un point dans l'espace des paramètres

soit M_i, M_j de $\mathcal{I} \rightarrow$ une seule droite $\Delta_{ij} \rightarrow$ un point Q_{ij} de \mathcal{H}

$$a_{ij} = \frac{y_i - y_j}{x_i - x_j}$$

$$b_{ij} = \frac{x_i y_j - x_j y_i}{x_i - x_j}$$

(à m points de \mathcal{I} est associé 1 point de \mathcal{H})



recherche des points les plus représentés dans \mathcal{H}

($m=2!$...)

(TH de 1 à $m \Leftrightarrow$ TH de m à 1)

Transformation de Hough

- **Discrétisation de \mathcal{H}**

- accumulateur = case de \mathcal{H}
- hypothèse = vote dans \mathcal{H} = incrémentation de l'accumulateur

Choix de la taille des cases délicat :

- accumulateurs trop grands = mauvaise précision dans la détection
- accumulateurs trop petits = peu de votes si courbe “bruitée”
- problème de la taille de l'espace mémoire

(surtout si de nombreux paramètres pour la forme)

Transformation de Hough

◦ Paramétrisation de la courbe

Nécessité d'une bonne paramétrisation des courbes

- Ex : pour les droites $y = ax + b$, $a, b \in]-\infty; +\infty[$

$a \in [0, 1[\Rightarrow 25\%$ des droites du plan

$a \in [1, +\infty[\Rightarrow 25\%$ des droites

\Rightarrow taille des cellules très inégale

Autre paramétrisation : $\rho = x_i \cos \theta + y_i \sin \theta$

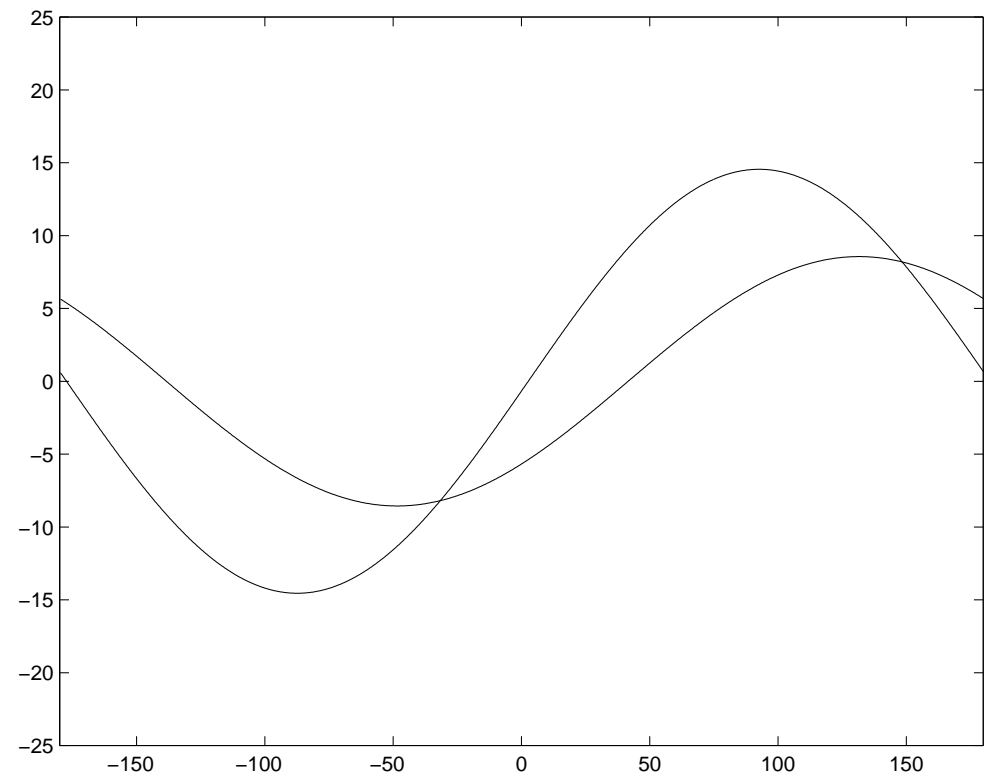
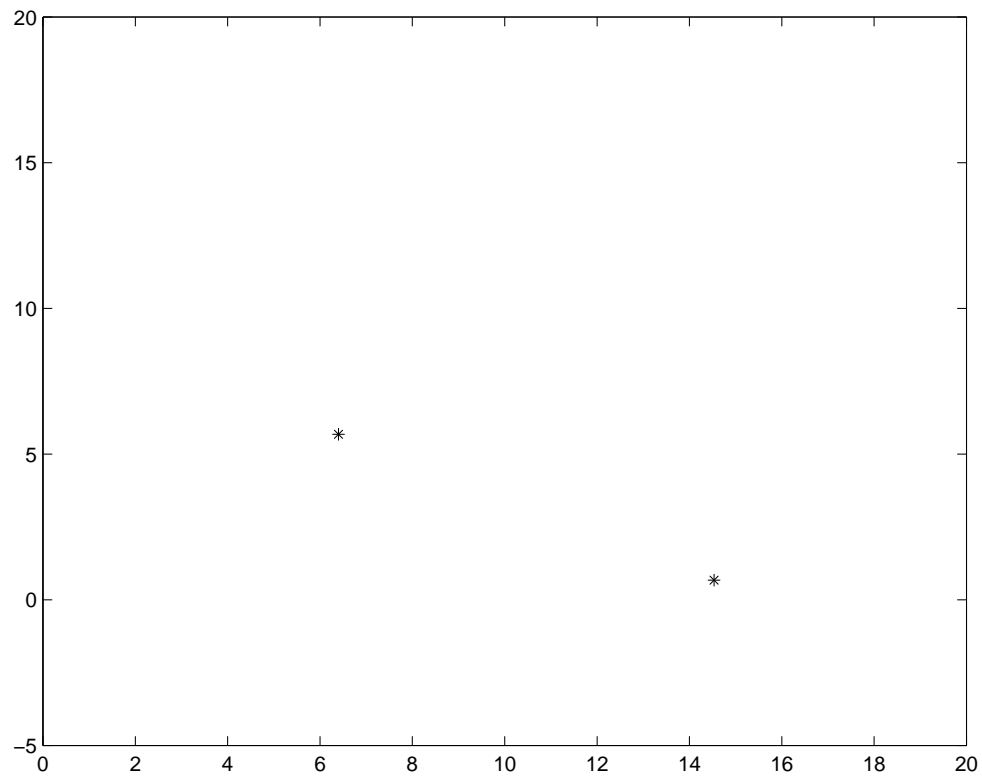
Transformée de Hough 1 à m :

$\Rightarrow \rho = f(\theta)$ sinusoïde

$$\rho = \sqrt{x_i^2 + y_i^2} \cos(\theta + \phi)$$

$$\cos(\phi) = x_i / \sqrt{x_i^2 + y_i^2}$$

$$\Delta\theta = [-\pi, +\pi[\text{ et } \Delta\rho = [0, \sqrt{2}L] \text{ (} L \text{ côté de l'image)}$$



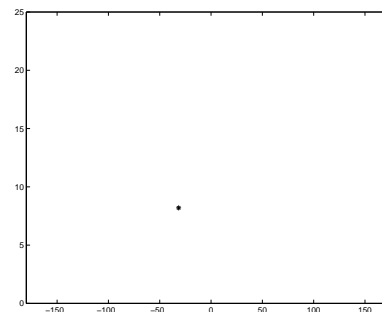
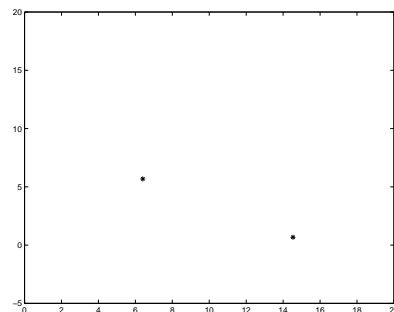
Transformation de Hough

- Paramétrisation de la courbe

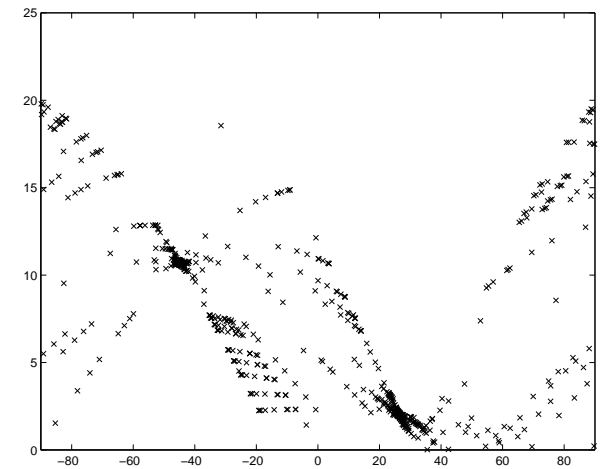
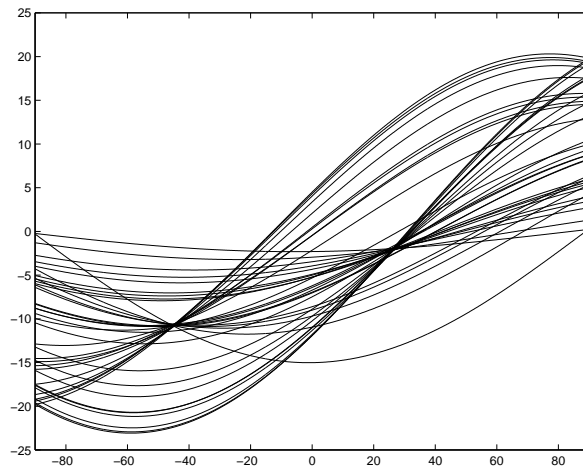
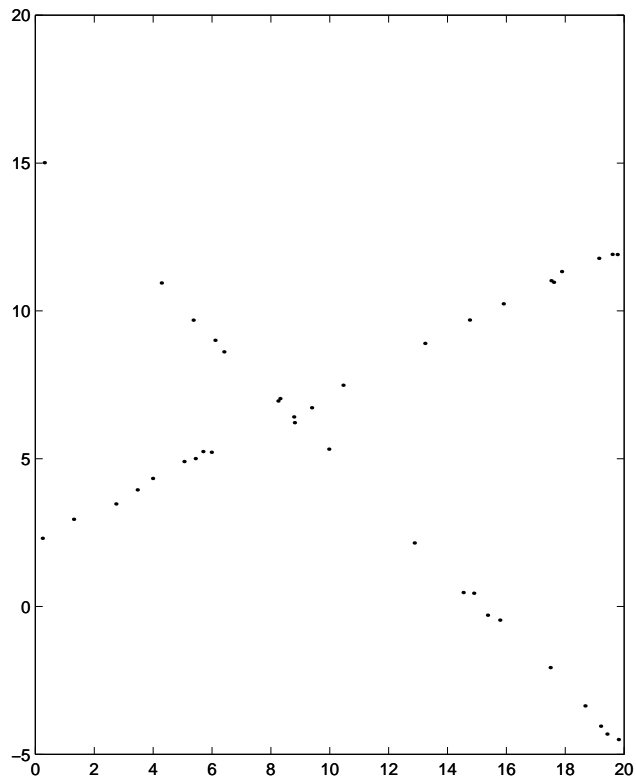
Transformée de Hough m à 1 :

doublet M_i, M_j de $\mathcal{I} \Rightarrow$ point Q_{ij} de \mathcal{H}

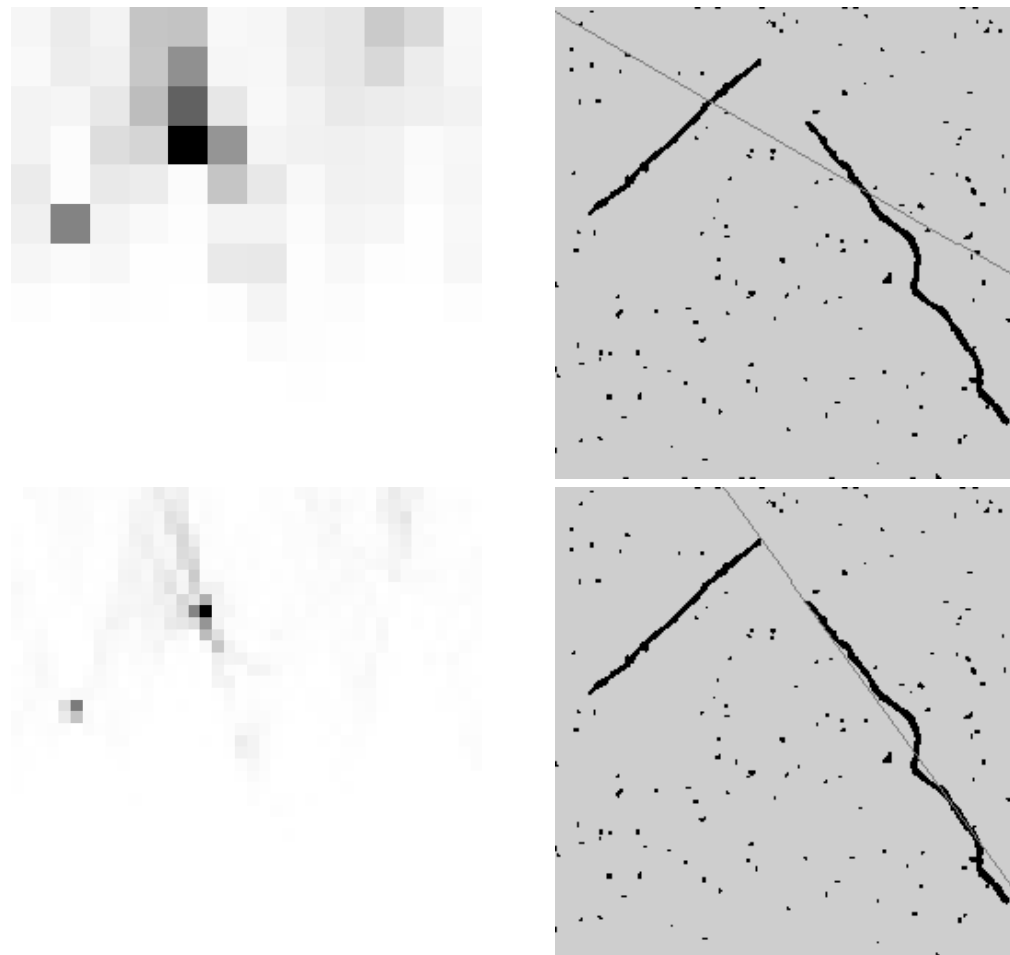
$$\rho_{ij} = \frac{|x_i y_j - x_j y_i|}{\sqrt{(x_i - x_j)^2 + (y_i - y_j)^2}} \quad \text{et} \quad \theta_{ij} = -\text{Arctg} \left[\frac{x_j - x_i}{y_j - y_i} \right]$$



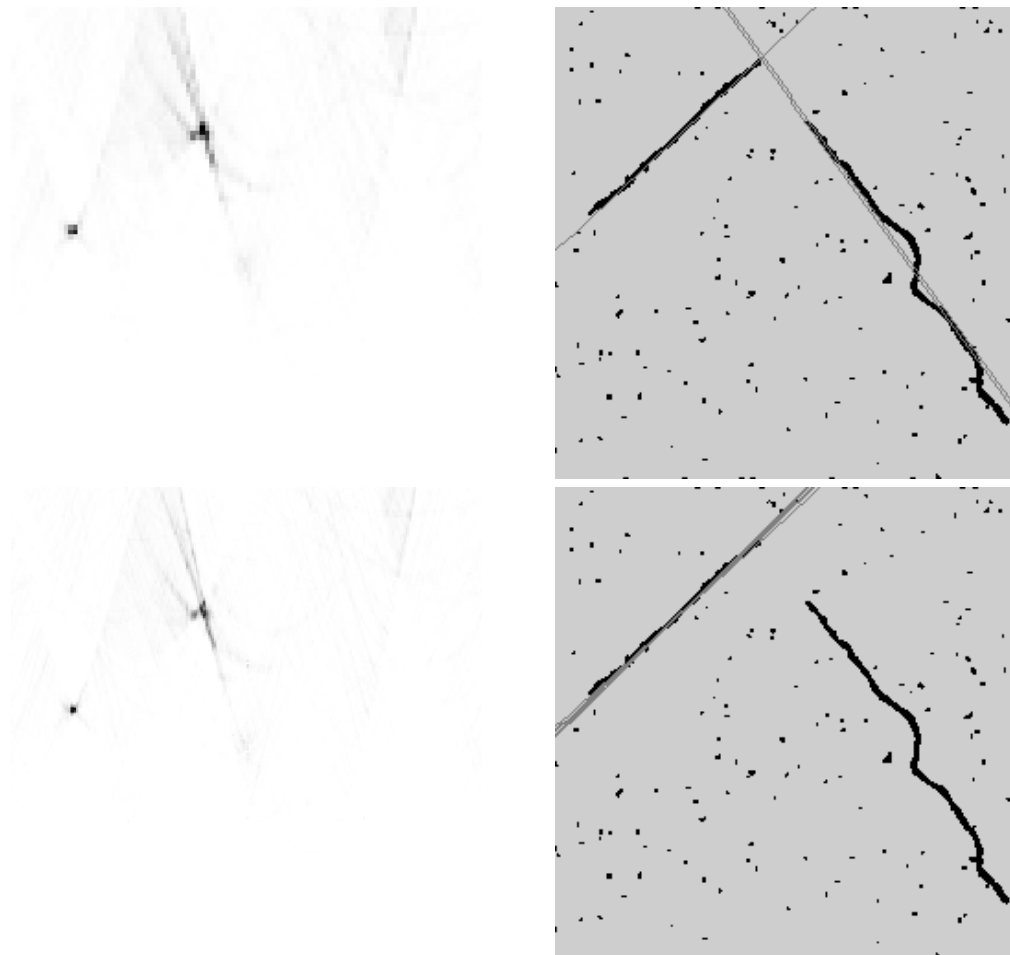
Transformation de Hough - exemple



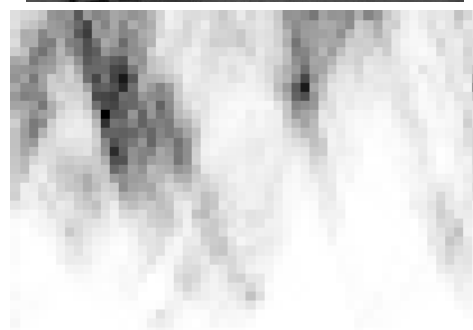
Transformation de Hough - exemple



Transformation de Hough - exemple



Transformation de Hough - exemple



Transformation de Hough

○ Détection d'objets par TH

- cercles (3 paramètres : centre + rayon)
- ellipses (5 paramètres centre + rayon+ direction de l'axe + ellipticité)
- paraboles (3 paramètres si on connaît la direction de l'axe, 5 sinon)

Transformation de Hough - exemple

